

予燃焼室式ディーゼル機関の性能

佐々木 啓介*
関根 郁平**

The Performances of Precombustion Chamber Diesel Engine

Keisuke SASAKI
Ikuhei SEKINE

要旨

予燃焼室式ディーゼル機関の一般性能実験と、燃焼状況を指圧線図により検討した。

Synopsis

The authors investigated the performances of precombustion chamber diesel engine and combustion phenomena in this diesel engine by indicator diagrams

1. まえがき

ディーゼル機関の性能、燃焼についてはすでに多く述べられているが、ここでは当実験室における船用の予燃焼室式ディーゼル機関の性能を定速回転試験、トルク試験により実験し、さらに燃焼状況がどうであるかを、特に圧縮比を変化させて測定した。これには主燃焼室に設けた指圧計を用い、燃焼圧力（最高燃焼圧力 P_{max} ）、着火遅れについて、負荷、圧縮比の変化の影響について検討してみた。

2. 実験装置、方法

○ 使用エンジン、動力計

予燃焼室式ディーゼル機関 単筒四サイクル

定格 6.5PS/1200 rpm

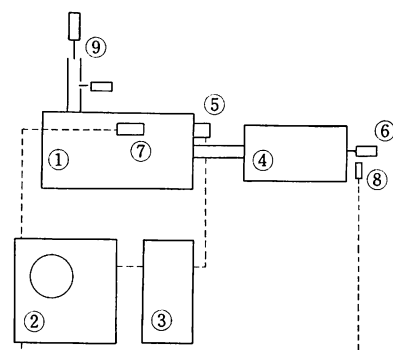
95×115mm 815cc

動力計、交流電気動力計、7.5 KW/650~2000 rpm

実験装置は第1図に示してある。指圧計はストレンゲージ式 (100 Kg/cm^2) を使用し、指圧線図はシンクロスコープの写真撮影により求めた。またエンジンのヘッド部は第2図に示してあり、指圧計は主燃焼室に取り付けた。(通路は3φ) 予燃焼室の容積は約15cc、隙間容積は45ccで、圧縮比は19である。

また噴射時期は、第3図の光電管式によるもので、

(クランク角度も同様) 第4図(a)のようにクランク角度は5°間隔に設け、噴射時期はあらかじめ設定してから実験をした。実験では5°BTCとした。(このエンジンでは9~12°BTCが適当であるが比較のためこの時期にした) 第4図(b)は負荷 $4/4$ における場合の写真である。



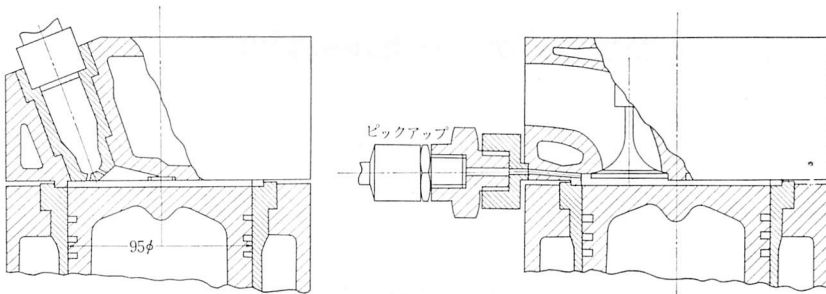
- | | |
|------------|------------|
| ① エンジン | ② シンクロスコープ |
| ③ ストロボスコープ | ④ 動力計 |
| ⑤ ピクトトップ | ⑥ 回転計 |
| ⑦ 噴射時期測定 | ⑧ クランク角度測定 |
| ⑨ ガス採集 | |

- | | | | |
|----|----------|----------|---------|
| 他に | イ. 軸トルク | ロ. 吸気温度 | ハ. 排気温度 |
| | ニ. 冷却水量 | ホ. 冷却水温度 | ヘ. 空気量 |
| | ト. 吸気圧 | チ. 排気圧 | |
| | リ. 润滑油圧力 | 温度を測定 | |

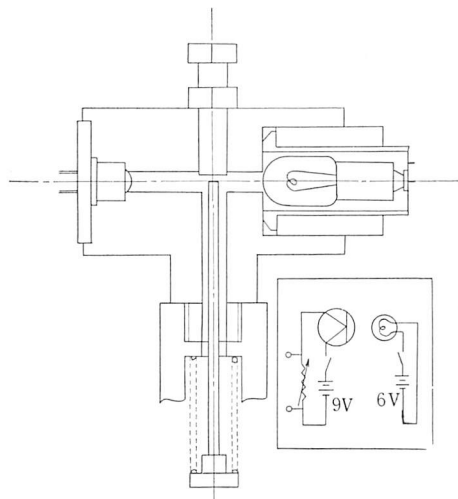
第1図 実験装置

* 講師 機械工学科

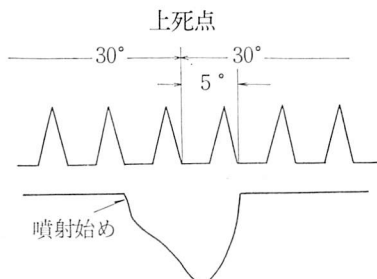
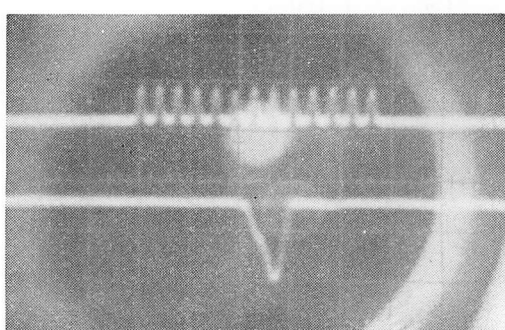
** 助手 機械工学科



第2図 使用エンジンヘッド部



第3図 噴射時期測定装置

第4図(a) 噴射時期
(クランク角度)

(b)

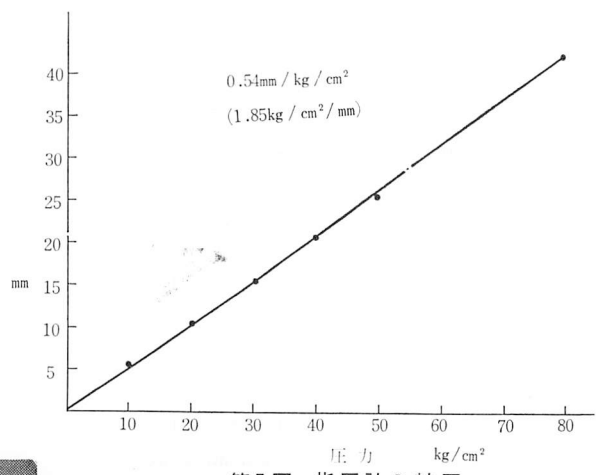
。方 法

圧縮比を正常の19と、さらに1mm, 0.8mmのパッキンを入れて、各々16.7, 15とし三通りについて、各負荷($\frac{0}{4} \sim \frac{11}{10}$)における、燃焼状況、着火遅れを調べた。(隙間容積は各52cc, 57.8ccである)

3. 実験結果、考察

3. 1 指圧計の較正

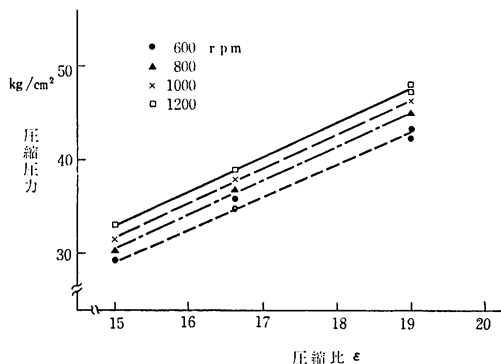
指圧計は圧力基準器により、静圧試験を行ない較正した。その結果を第5図に示す。指圧計の直線性はストレンメータなどにもよるが、今回は図のように直線性とみなした。その感度は $1.85 \text{ Kg/cm}^2/\text{mm}$ となっていいる。



第5図 指圧計の較正

3. 2 モータリングにおける圧縮圧力

圧縮比と回転数の圧縮圧力への影響を示したもののが第6図で、回転数を 600, 800, 1000, 1200 rpm について測定したが、かなりの差がでている。 $\epsilon=19$ で約40~48 at と変化し、約8 at の差があり、 $\epsilon=15$ で約29~35 at と約6 at の差がある。また n=1200 rpm で圧縮比により、35 at~48 at と約13 at の差がある。これらは、圧縮比と、回転速度の増加による空気密度の増加のためである。(なお $p_2=p_1\epsilon^K$ の式では各圧縮比で

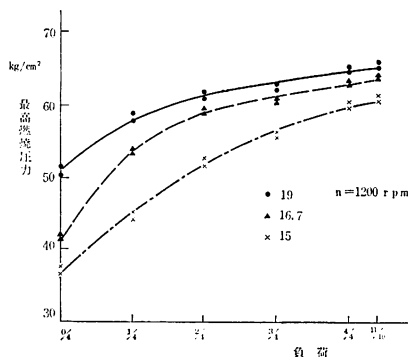


第6図 モータリングにおける圧縮圧力

$p_2=53 \text{ at}$, 44.5 at , 39 at である。ただし $p_1=1 \text{ at}$, $K=1.35$)

3.3 圧縮比と最高燃焼圧力

第7図は圧縮比と最高燃焼圧力の関係を示したものである。予燃焼室式では噴射時期により、低負荷時の方が最高圧力が高い時もあるが、今回は $\varepsilon=19$ で約 50 ~ 66 at と負荷の増加により順次増加している。特に低負荷では燃焼圧力の減少が著しい。これらは当然ながら圧縮比の減少による、燃焼状況の悪化によるものである。また $\frac{1}{4}$ ではほぼ圧縮圧力と、同圧力の燃焼圧力を示しているが、これは噴射時期が遅いのも一因と考えられる。(なおこれらの実験は燃焼状況が不安定であり、各測定期点は10~20枚の写真により求めた)



第7図 負荷、圧縮比と燃焼最高圧力

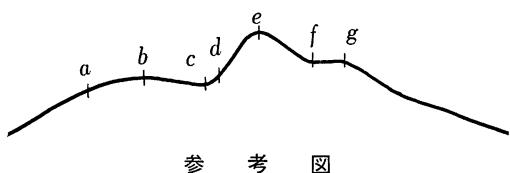
3.4 圧縮比と着火遅れ

第8図(a)は、着火遅れをクランク角度で示したもので、(b)は最高圧力までの時間を示したものである。一般に、この噴射時期での燃焼状況は参考図のようになっている。すなわち a で噴射し、b は上死点を示し、c から圧力上昇(燃焼始め)が d までわずかにみられ、さらに d から e と急激に燃焼し、e で最高圧力を示している。また f-g と後もえの現象を示している。これらも噴射時期の影響による、燃焼遅れによるものである。図の着火遅れの測定は a から c までの期間を測定

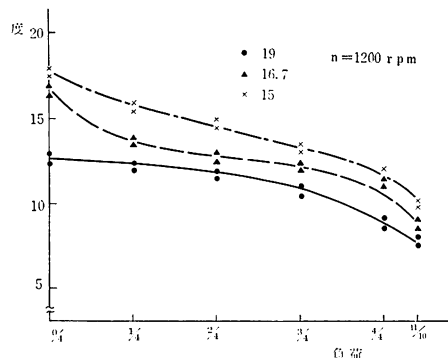
したもので、圧縮比、負荷の増加により短くなっている。 $\varepsilon=19$ では $\frac{1}{4}$ で約 13° , $\frac{11}{10}$ では約 7.5 と約 $1/2$ 短くなっている、燃焼状況の良好さを示している。また $\varepsilon=15$ では $\frac{1}{4}$ で約 18° , $\frac{11}{10}$ で約 10° とかなりの遅れを示している。一般に $\varepsilon=19$, 負荷 $\frac{1}{4}$ について述べると、着火遅れは約 8.5° で、c-d が約 1° , c-e が約 $5 \sim 6^\circ$ さらに約 5° 後に f と後もえが行なわれている。一般に c-e は $5^\circ \sim 7.5^\circ$ であるが高負荷になるほど a-c が短いが a-e(c-e) は長くなっている。これは燃焼の緩急を示すものである。(なお $n=1200 \text{ rpm}$ であるので $1^\circ = 0.00014 \text{ sec}$) また図(b)では $\varepsilon=19, \frac{1}{4}$ で 18° , $\frac{11}{10}$ で 15° , $\varepsilon=15, \frac{1}{4}$ で 23.5° , $\frac{11}{10}$ で 18° とかなりの遅れを示しており、これらはいずれも噴射時期によるものであり、さらに噴射時期の影響について検討の必要がある。

3.5 サイクルによる圧力変動

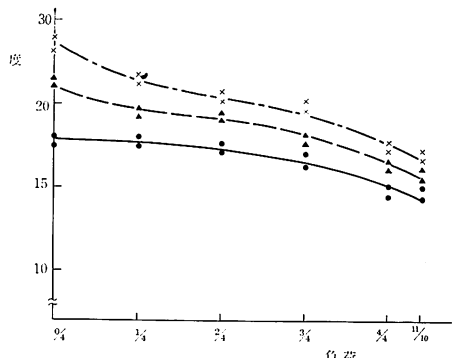
前述のごとく、各燃焼状況は不安定であり、同負荷でも一定の燃焼をしないで、最高圧力、着火遅れもた



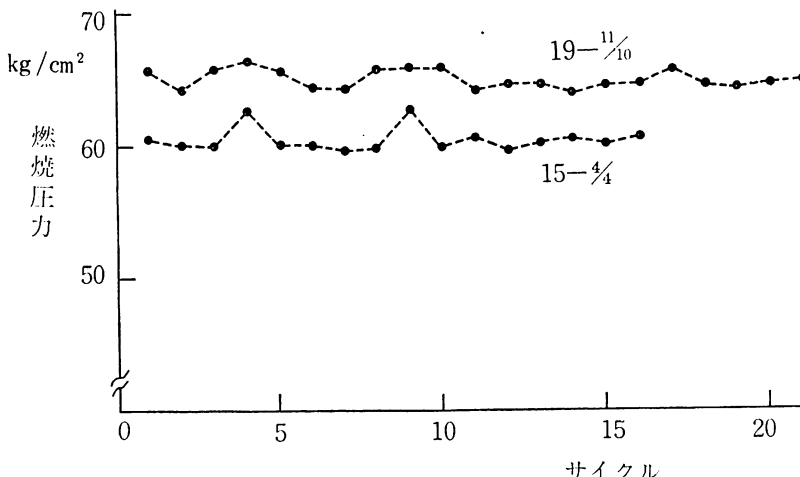
参考図



第8図(a) 負荷、圧縮比と着火遅れ



第8図(b) 負荷、圧縮比と最高燃焼圧力までの時間

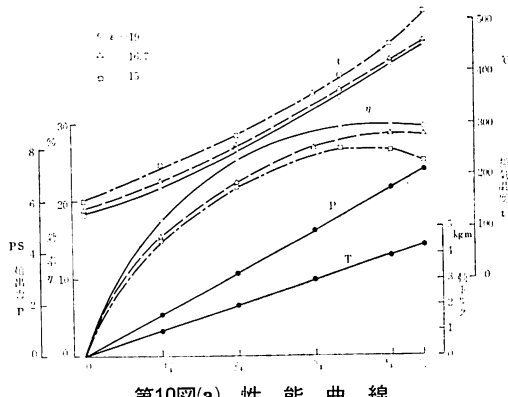


第9図 サイクルによる圧力変動

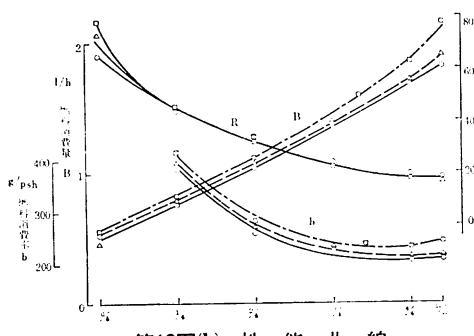
えず変動している。第9図はこの圧力変動を示したもので約2atの変動が行なわれている。この変動は一概にいえないが高負荷の方が激しいと言える。これらは第11図にも示してあり、かなりの変動がわかると思う。結果を示したものである。(a), (b) は各圧縮比について示しているが、圧縮比が小さいとき、すなわち燃焼が悪化、不安定のとき排気温度が高くなっている。し

3.6 性能曲線

第10図(a)～(c)は、使用エンジンの一般性能試験の

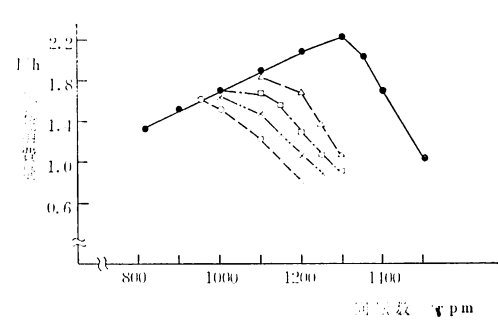
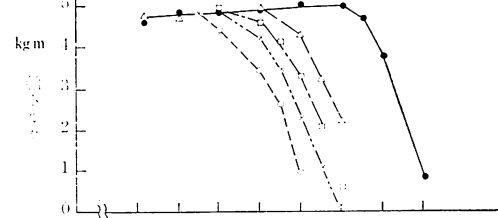
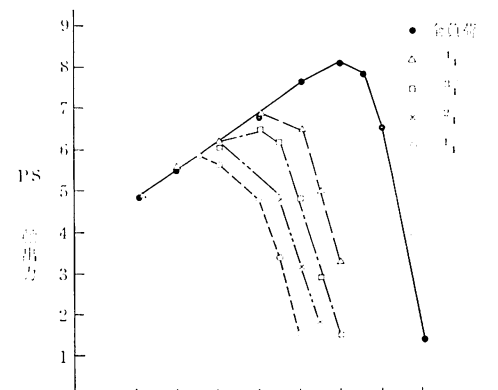


第10図(a) 性能曲線



第10図(b) 性能曲線

かし出力は圧縮比が15, 16.7でも十分でている。一般的に述べると燃焼消費率は最小で200 g/psh, 効率は



第10図(c) 性能曲線

28~30%を示し、混合比は $4/4 \sim 11/10$ で約20で、これは空気過剰率が約1.4である。

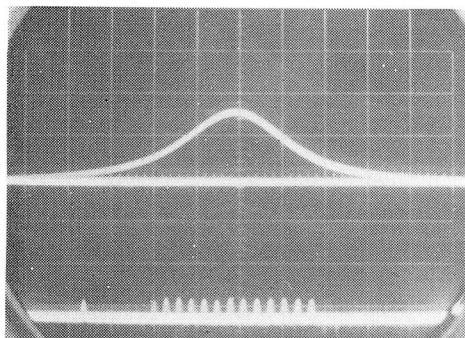
またこの潤滑油は10W30を使用しているが油温は平均して54°Cである。動粘度は30°Cで16cst, 50°Cで38cst, 80°Cで88cstである（使用前）。

図(c)はトルク試験で、調速機の働きで1300 rpmから全負荷で急激に输出力、トルクが下っている。出力は最高で8 psを示し、トルクは1000 rpm前後で最高約

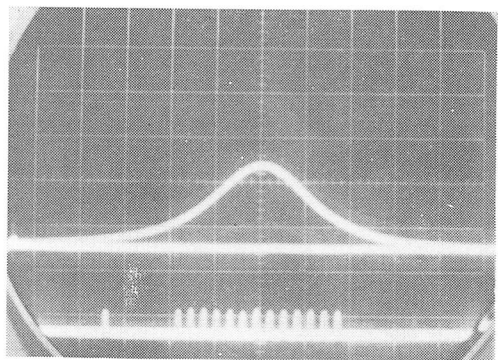
4.5 kgmとなっている。

3.7 各燃焼状況の写真

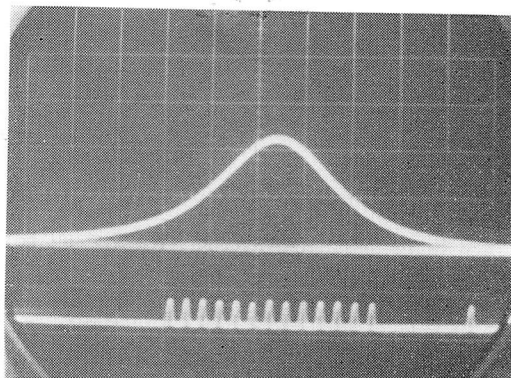
最後に参考のため、一連の実験結果として各圧縮比、負荷における写真を掲載した。(1)~(6)は圧縮圧力の変化を示し、(28)~(33)は3.5で述べたサイクルによる圧力変動を示したものである。また(25)(26)(27)は各 $\varepsilon=15, 4/4, \varepsilon=16.7, 4/4, \varepsilon=19, 4/4$ の状況を拡大し、(7)(17)(23)と比較のために掲載した。



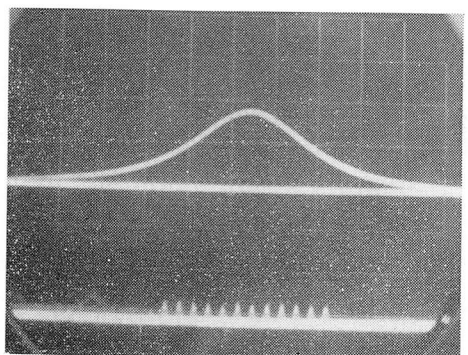
第11図 [1]-15-600rpm



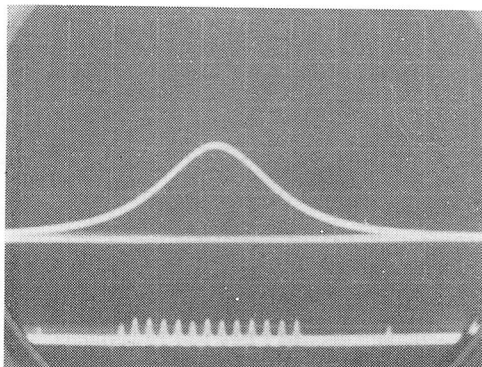
第11図 [2]-16.7-600



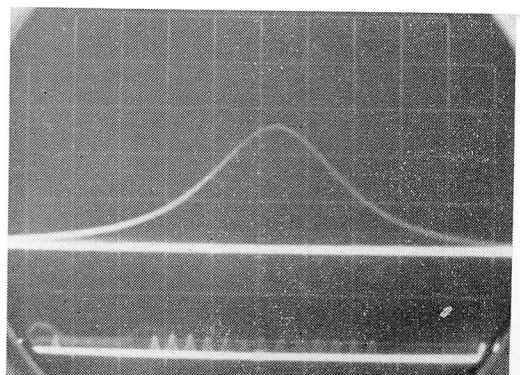
第11図 [3]-19-600



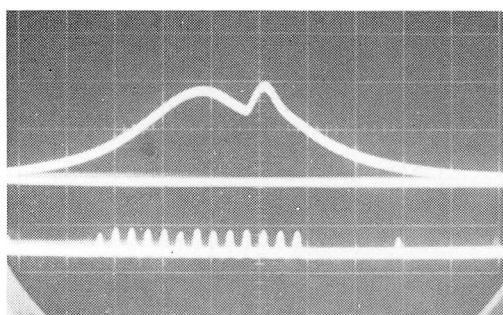
第11図 [4]-15-1200



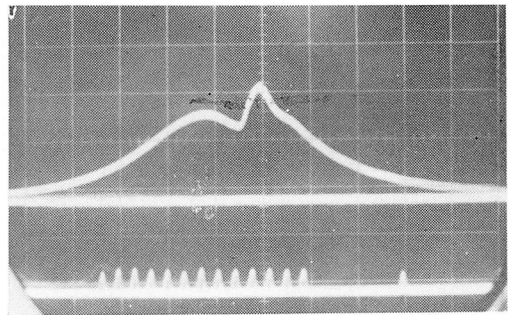
第11図 [5]-16.7-1200



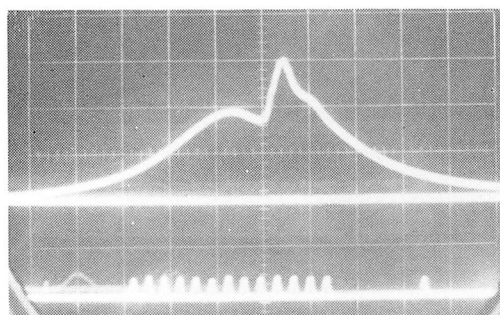
第11図 [6]-19-1200



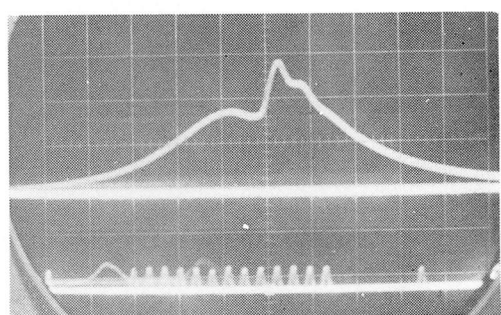
第11図 $[7]-15^{-0/4}$



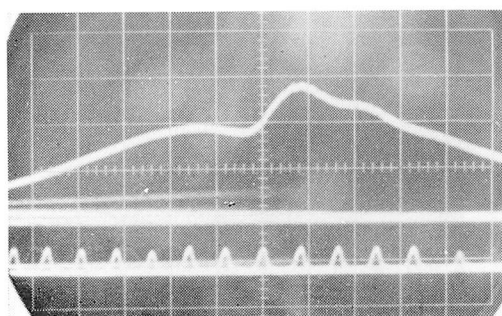
第11図 $[8]-15^{-1/4}$



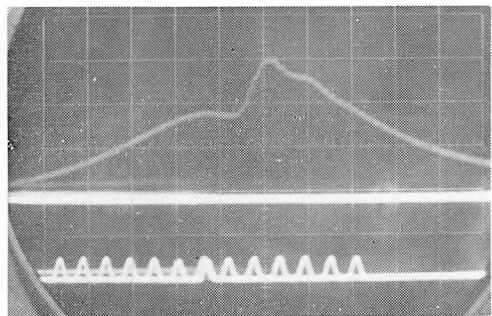
第11図 $[9]-15^{-2/4}$



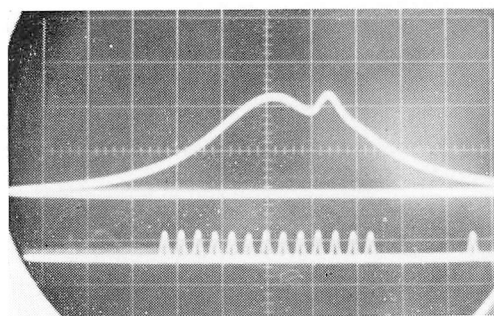
第11図 $[10]-15^{-3/4}$



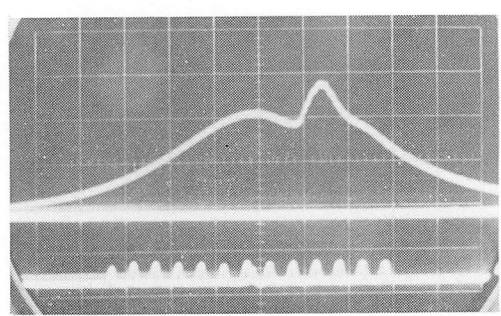
第11図 $[11]-15^{-4/4}$



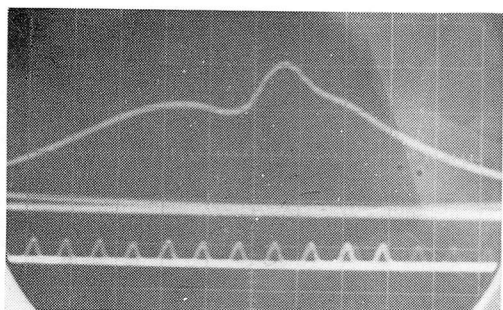
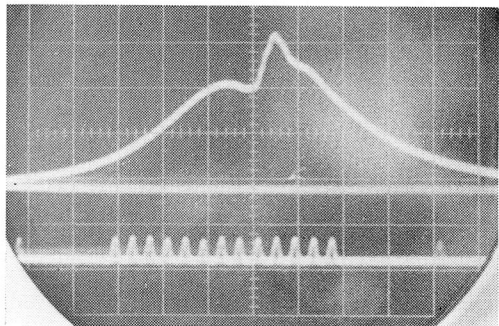
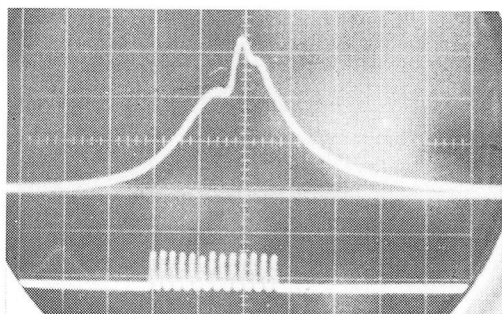
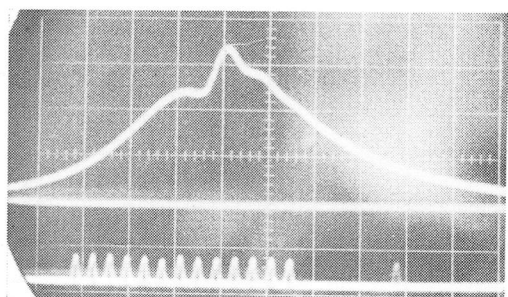
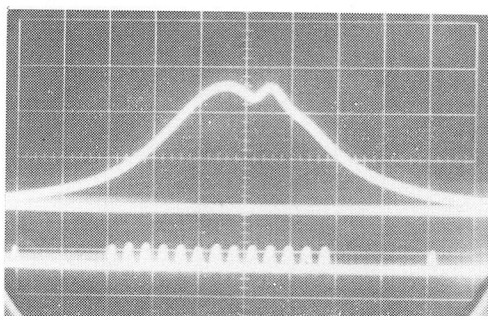
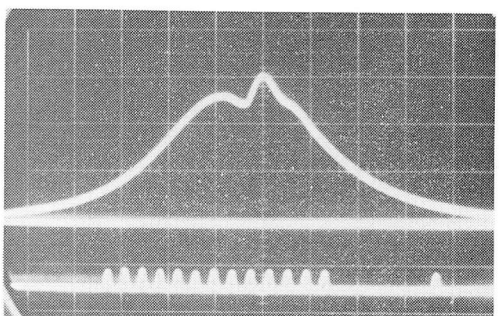
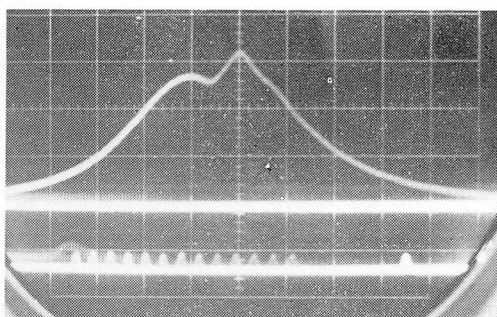
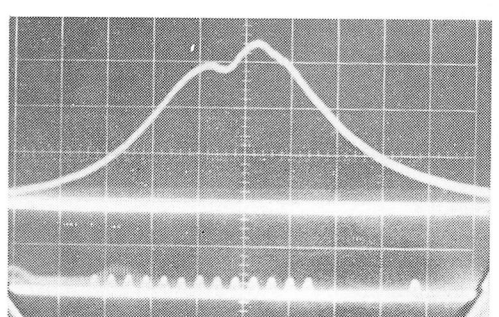
第11図 $[12]-15^{-11/10}$

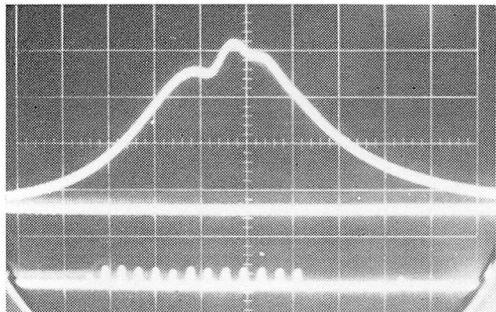


第11図 $[13]-16.7^{-0/4}$

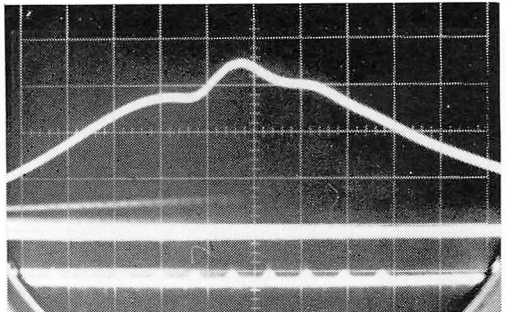


第11図 $[14]-16.7^{-1/4}$

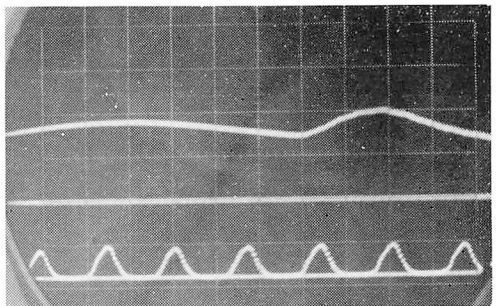
第11図 [15]-16.7-²/4第11図 [16]-16.7-³/4第11図 [17]-16.7-⁴/4第11図 [18]-16.7-¹¹/₁₀第11図 [19]-19-⁰/4第11図 [20]-19-¹/4第11図 [21]-19-²/4第11図 [22]-19-³/4



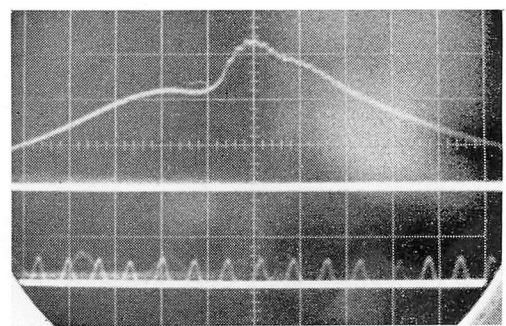
第11図 [23]-19-4/4



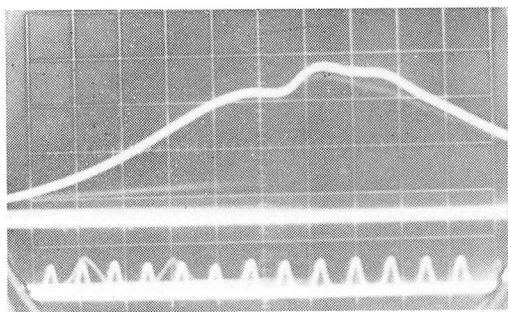
第11図 [24]-19-11/10



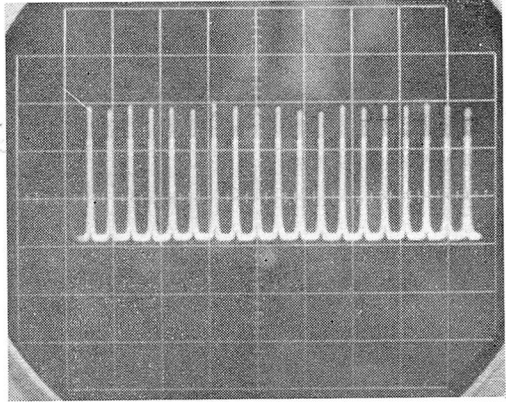
第11図 [25]-15-0/4



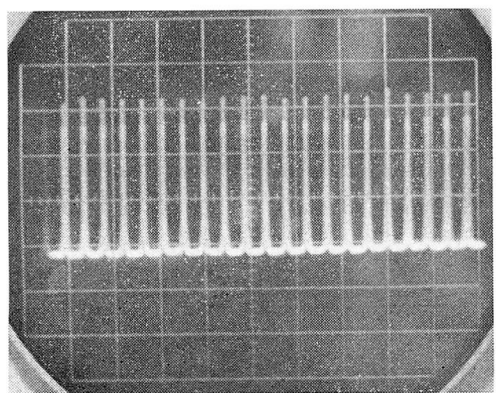
第11図 [26]-16.7-4/4



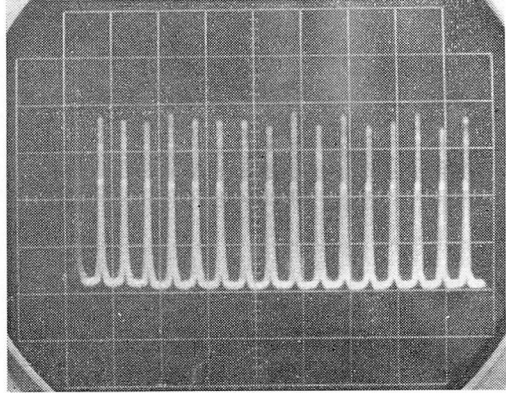
第11図 [27]-19-4/4



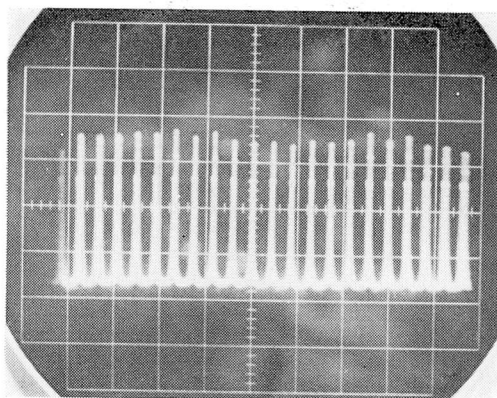
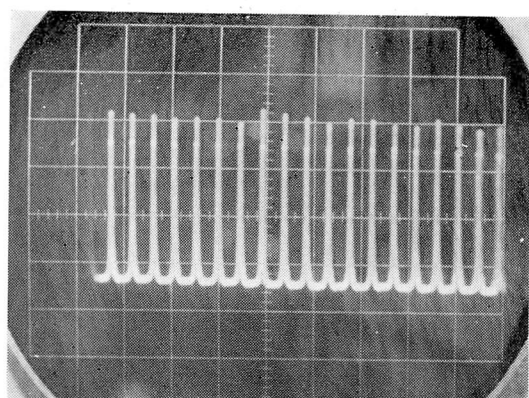
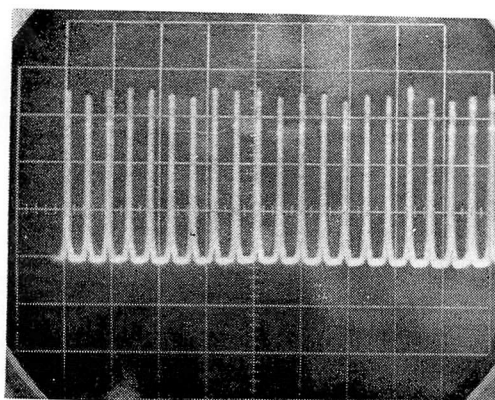
第11図 [28]-15-1/4



第11図 [29]-19-1/4



第11図 [30]-15-4/4

第11図 [31]-16.7-⁴/₄第11図 [32]-19-⁴/₄第11図 [33]-19-¹¹/₁₀

4. あとがき

ディーゼル機関の一般的な燃焼状況、着火遅れについて述べたが、着火遅れ、最高圧力とも圧縮比、負荷によりかなりの相異が示されている。着火遅れは噴射時期、圧縮比その他圧力、温度、回転数の影響もあり、さらに噴射時期の影響と合わせて検討したい。また出力は圧縮比が15, 16.7についても十分でているが、燃

焼状況、耐久性が問題となろう。さらに、現在問題となっている排気ガスとディーゼルスモークについても、実験、検討していきたい。

参考文献

内燃機関編集委員会・内燃機関の実験と計測
長尾、内燃機関講義。

(昭和46年1月9日受理)

